

第一章 模型结构介绍

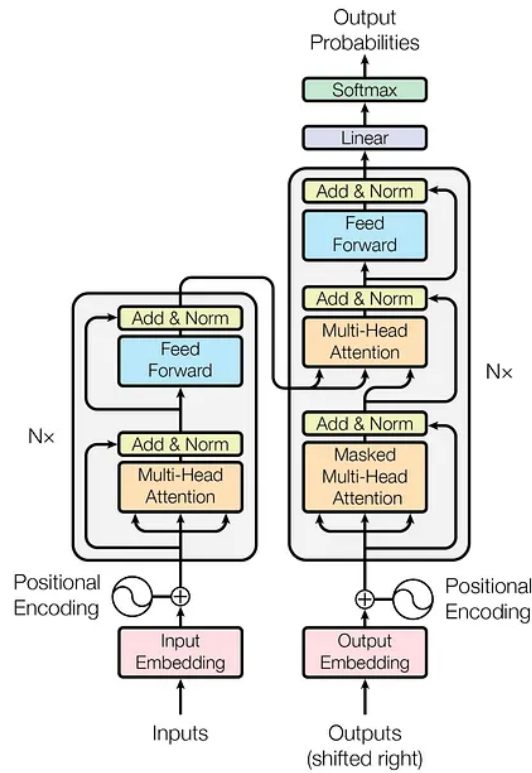


图 2.1 Transformer 模型结构

Transformer 模型由编码器和解码器组成，每个层包含两个核心组件：**注意力机制 (Attention)** 和 **前馈神经网络 (FFN)**。注意力机制负责捕捉序列中不同位置之间的依赖关系，而 FFN 则对每个位置的表示进行非线性变换，增强模型的表达能力。

第1条 Attention (注意力机制)

注意力机制是 Transformer 的核心组件，通过计算序列中不同元素之间的相关性来捕捉全局依赖关系。

第2条 基本原理

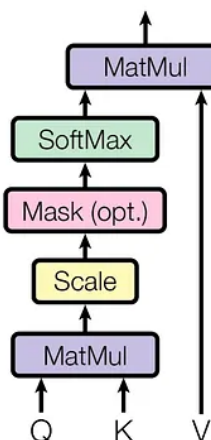


图 2.2 Attention 计算图

注意力函数通过三个输入矩阵进行计算：查询（Query, Q）、键（Key, K）和值（Value, V）。查询表示当前需要关注的位置，键表示序列中所有位置的表示，值则是需要提取的信息表示。

注意力计算过程如下：

- 1) **注意力分数计算：**通过查询矩阵Q与键矩阵K的转置进行矩阵点积，得到注意力分数矩阵。矩阵中元素 a_{ij} 表示位置 i 对位置 j 的关注程度。
- 2) **缩放与归一化：**将注意力分数除以 $\sqrt{d_k}$ （其中 d_k 为键的维度），以防止梯度过大，然后应用Softmax函数进行归一化，使得每行的权重和为1。
- 3) **加权求和：**将归一化后的注意力权重矩阵与值矩阵V相乘，得到最终的注意力输出。

数学表达式为：

$$\text{Attention}(Q, K, V) = \text{softmax}\left(\frac{QK^T}{\sqrt{d_k}}\right)V$$

第3条 注意力机制变体

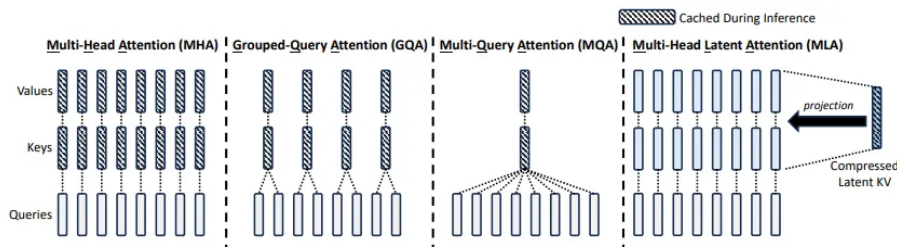
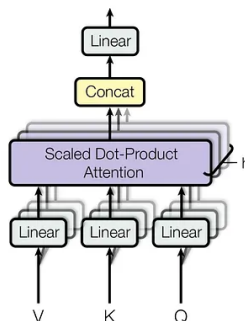


图 2.3 Attentions

- 1) **MHA (Multi-Head Attention, 多头注意力)** 传统的多头注意力机制将输入投影到 h 个不同的子空间，并行计算 h 个独立的注意力头，然后将结果拼接并再次投影。每个头使用独立的投影矩阵 W_i^Q 、 W_i^K 、 W_i^V ($i = 1, 2, \dots, h$)，使得模型能够从不同表示子空间捕捉信息。



在原始 Transformer 中，通常设置 $h = 8$ ，每个头的维度 $d_k = d_v = d_{model}/h = 64$ 。多头注意力的总计算成本与单头全维注意力相近，但表达能力更强。

$$\text{MultiHead}(Q, K, V) = \text{Concat}(\text{head}_1, \dots, \text{head}_h)W^O$$

$$\text{where } \text{head}_i = \text{Attention}(QW_i^Q, KW_i^K, VW_i^V)$$

- 2) **MQA (Multi-Query Attention, 多查询注意力)** 多查询注意力机制使所有头共享相同的键和值投影矩阵，仅查询矩阵保持独立。这种设计显著减少了KV Cache的内存占用，在解码阶段可将推理速度提升约13.9倍(参考论文: [Multi-Query Attention](#))。
- 3) **GQA (Grouped-Query Attention, 分组查询注意力)** 分组查询注意力是MQA和MHA之间的折中方案，将多个头分组，每组共享一个键值投影矩阵。例如，在T5-XXL (64个头) 中，可将64个头分为8组，每组8个头共享键值投影。相比传统MHA，GQA在保持模型质量的同时，推理速度提升5-6倍(参考论文: [Grouped-Query Attention](#))。
- 4) **MLA (Multi-head Latent Attention, 多头潜在注意力)** MLA是DeepSeek-V3采用的注意力机制，通过将键值矩阵合并压缩为低秩向量来减少KV Cache的存储需求。压缩维度远小于MHA中的投影矩阵维度(可从7168维压缩至256维，节省约28倍)，从而显著降低内存占用。(参考论文: [Multi-head Latent Attention](#))

Keys和Values的低秩压缩与RoPE解耦：

$$c_t^{KV} = W_D^{KV} h_t \$$$

$$[k_{t,1}^C; k_{t,2}^C; \dots; k_{t,n_h}^C] = k_t^C = W_U^K c_t^{KV} \$$$

$$k_t^R = \text{RoPE}(W_K^R h_t) \$$$

$$k_{t,i} = [k_{t,i}^C; k_t^R] \$$$

$$[v_{t,1}^C; v_{t,2}^C; \dots; v_{t,n_h}^C] = v_t^C = W_U^V c_t^{KV} \$$$

其中 $c_t^{KV} \in \mathbb{R}^{d_c}$ 是Key和Value的共享压缩低秩向量 ($d_c \ll d_h \cdot n_h$)， W_D^{KV} 是下采样矩阵， W_U^K 和 W_U^V 是上采样矩阵。通过这种设计，Key的内容信息 $k_{t,i}^C$ 和 Value 内容信息 $v_{t,i}^C$ 共享同一个低秩向量 c_t^{KV} ，而位置信息则通过独立的RoPE路线 $k_t^R = \text{RoPE}(W_K^R h_t)$ 生成，确保位置信息不被压缩损失。最终第 i 个头的Key为 $k_{t,i} = [k_{t,i}^C; k_t^R]$ (内容和位置的拼接)。

Queries的低秩压缩与RoPE解耦：

$$c_t^Q = W_D^Q h_t \$$$

$$[q_{t,1}^C; q_{t,2}^C; \dots; q_{t,n_h}^C] = q_t^C = W_U^Q c_t^Q \$$$

$$[q_{t,1}^R; q_{t,2}^R; \dots; q_{t,n_h}^R] = q_t^R = \text{RoPE}(W_Q^R c_t^Q) \$$$

$$q_{t,i} = [q_{t,i}^C; q_{t,i}^R] \$$$

其中 $c_t^Q \in \mathbb{R}^{d'_c}$ 是 Query 的压缩低秩向量 ($d'_c \ll d_h \cdot n_h$), W_D^Q 是下采样矩阵, W_U^Q 是上采样矩阵。与 Keys/Values 类似, Query 的内容信息 $q_{t,i}^C$ 由压缩低秩向量解压得到, 而每个头的位置信息 $q_{t,i}^R$ 通过 $\text{RoPE}(W_Q^R c_t^Q)$ 独立生成, 最终 $q_{t,i} = [q_{t,i}^C; q_{t,i}^R]$ 。

注意力计算与输出:

$$o_{t,i} = \sum_{j=1}^t \text{Softmax}_j \left(\frac{q_{t,i}^T k_{j,i}}{d_h + d_h^R} \right) v_{j,i}^C \$$$

$$u_t = W_O [o_{t,1}; o_{t,2}; \dots; o_{t,n_h}] \$$$

其中缩放因子 $d_h + d_h^R$ 由内容维度 d_h 和 RoPE 维度 d_h^R 组成, $W_O \in \mathbb{R}^{d \times d_h \cdot n_h}$ 是输出投影矩阵。通过这种设计, 只需缓存 c_t^{KV} 和 k_t^R 两个张量, 相比标准 MHA 大幅减少 KV Cache 占用。

第4条 Embedding (词嵌入层)

Embedding 层是模型的入口, 负责将输入 token ID 转换为高维向量表示。

参数 : Embedding $\in \mathbb{R}^{V \times d}$, 其中 V 为词表大小, d 为隐层维度

计算 : 本质上是一个查表(Gather)操作, 无浮点运算

作用 : 为后续 Transformer 层提供初始输入表示

对于 DeepSeek-V3 : vocab_size = 129280, hidden_size = 7168, 参数量约 0.9GB (FP8)。

第5条 LMHead (语言模型头)

LMHead 是模型的出口, 将最后一层的隐状态投影回词表空间, 用于生成 token 的预测概率。

参数 : LMHead $\in \mathbb{R}^{d \times V}$, 通常与 Embedding 权重共享以节省显存

计算 : 矩阵乘法, 计算量为 $2 \times d \times V$

作用 : 输出 logits, 通过 softmax 获得 token 分布用于采样

对于 DeepSeek-V3 : 参数量约 0.9GB (FP8), 计算量取决于 batch 大小和输出序列长度。

第6条 FFN (Feedforward Neural Network, 前馈神经网络)

FFN 是 Transformer 中除注意力机制外的另一个核心组件, 负责对每个位置的表示进行

非线性变换。

第7条 结构与计算

FFN本质上是一种**多层感知机 (MLP, Multi-Layer Perceptron)**，由两层线性变换和一个激活函数组成。其数学表达式为：

$$\text{FFN}(x) = \max(0, xW_1 + b_1)W_2 + b_2$$

其中：

- 1) $W_1 \in \mathbb{R}^{d_{model} \times d_{ff}}$ 和 $W_2 \in \mathbb{R}^{d_{ff} \times d_{model}}$ 为权重矩阵
- 2) b_1 和 b_2 为偏置向量
- 3) $\max(0, \cdot)$ 为ReLU激活函数
- 4) d_{model} 为模型维度 (通常为512), d_{ff} 为隐藏层维度 (通常为2048)

FFN对序列中每个位置的表示独立进行变换，引入非线性 (ReLU) 并允许模型学习更深层次的表示变换。与注意力机制关注序列内不同位置间的关系不同，FFN专注于对单个位置的表示进行深度变换。

第8条 FFN与MLP的关系

FFN (Feedforward Neural Network) 是前馈神经网络的简称，其结构与**MLP (Multi-Layer Perceptron, 多层感知机) **相同，均由多层线性变换和激活函数组成。在 Transformer 中，FFN 特指两层线性变换中间夹一个 ReLU 激活函数的结构，可以视为 MLP 的一种特定实现形式。因此，FFN 和 MLP 在概念上可以互换使用，FFN 是 MLP 在 Transformer 架构中的具体应用。

第9条 FFN变体

- 1) **Dense MLP (稠密MLP)** 标准的全连接前馈网络，每个输入token激活所有参数。在DeepSeekMoE的研究中，稠密模型 (每个token激活所有参数) 被用作MoE模型性能的理论上限参考。
- 2) **MoE (Mixture of Experts, 混合专家模型)** MoE将FFN划分为多个子网络 (专家)，每个输入token仅激活部分专家，从而实现条件计算。MoE层包含两个关键组件：
 - a) **门控网络 (Gating Network)**: 决定每个token应激活哪些专家 (通常采用TopK门控策略)
 - b) **专家网络 (Expert Network)**: 多个独立的FFN子网络，每个专家学习不同的知识表示

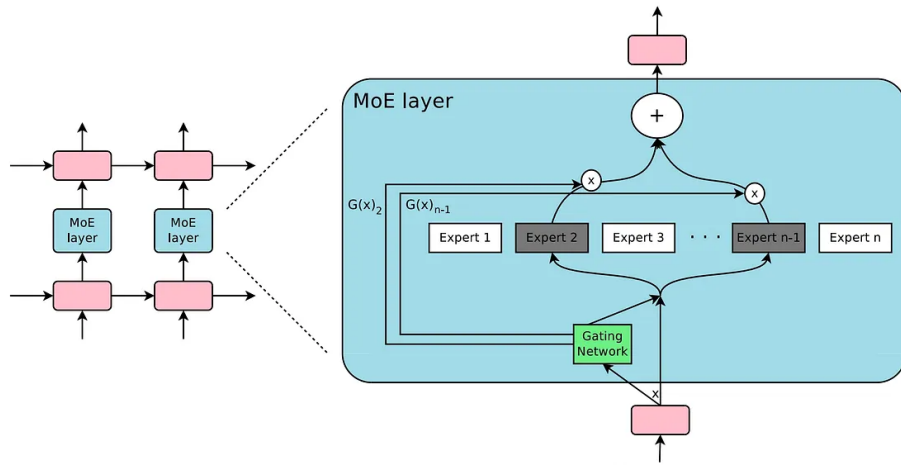


图 2.4 Google 的 MoE

传统的 TopK MoE 存在两个问题：(1) **知识混合性**：有限数量的专家需要处理多样化的知识，导致专家难以专精；(2) **知识冗余**：不同专家可能学习到相同的共享知识，造成参数冗余。

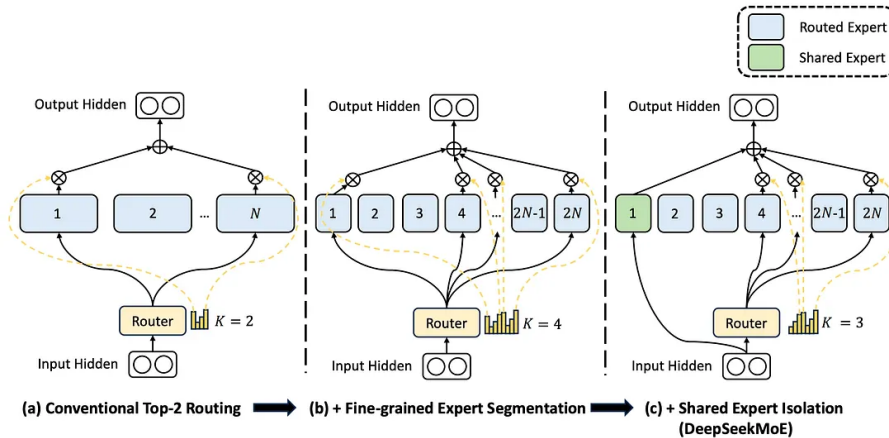


图 2.5 DeepSeek 的 MoE

DeepSeekMoE 通过细分更多专家并引入共享专家机制，缓解了上述问题，使 MoE 模型更接近理论性能上限。

- 3) **DeepSeekMoE (DeepSeek Mixture of Experts)** DeepSeekMoE 是 DeepSeek 团队提出的改进型 MoE 架构 (参考 [DeepSeekMoE 论文](#))，通过两个核心策略实现“最终专家专精”：

1. 细粒度专家分割与激活

将 N 个专家细分为 mN 个小专家，从中激活 mK 个：

$$\text{激活率} = \frac{mK}{mN} = \frac{K}{N}$$

虽然激活率保持不变，但 mN 个小专家 (每个维度为 d_{ff}/m) 比 N 个大

专家（维度为 d_{ff} ）更容易保持差异化，减少知识冗余，提高表达能力。

2. 共享专家隔离机制

预留 K_s 个共享专家，所有token都通过：

$$\text{output} = \text{shared_expert}(x) + \sum_{i=1}^K \text{routed_expert}_i(x)$$

共享专家捕捉通用知识，路由专家处理任务特定知识，有效减少冗余。

计算复杂度

每token的FLOPs：

$$\text{FLOPs}_{\text{token}} = 2d \cdot d_{ff} \cdot \frac{mK + K_s}{mN} = 2d \cdot d_{ff} \cdot \frac{K + K_s/m}{N}$$

总参数量不增加（参考论文Section 3.1）：

$$\text{Params}_{\text{total}} = \text{共享专家参数} + N \times (2d \cdot d_{ff})$$

